

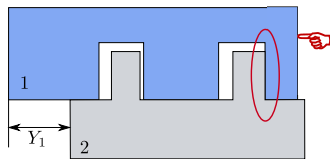
Calcul de probabilités de défaillance de mécanismes hyperstatiques avec une méthode de fiabilité système

A. Dumas, N. Gayton, J.-Y. Dantan

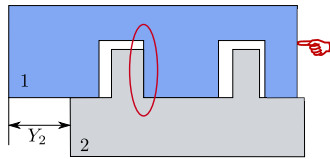
- 1 Introduction
- 2 Formalisation du problème d'analyse des tolérances
- 3 Méthodes de résolution fiabilistes
- 4 Application

Introduction

- En production de masse, le process de fabrication n'est pas capable d'avoir une parfaite répétabilité des dimensions : écarts géométriques.
- Le comportement du mécanisme est perturbé par les écarts géométriques et par les jeux entre les pièces.



Configuration 1

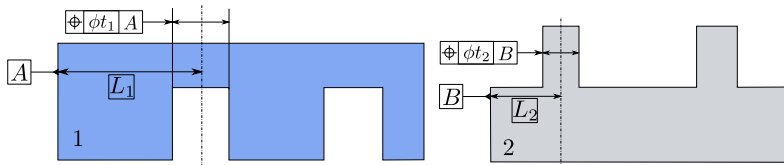


Configuration 2

Introduction

Des tolérances sont spécifiées sur des composantes particulières afin de limiter les écarts :

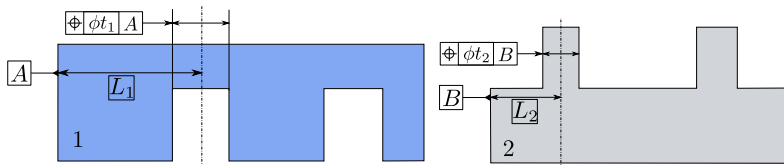
- Tolérances dimensionnelles,
- Spécifications géométriques (forme, orientation, position).



Introduction

Des tolérances sont spécifiées sur des composantes particulières afin de limiter les écarts :

- Tolérances dimensionnelles,
- Spécifications géométriques (forme, orientation, position).



L'analyse des tolérances, en gestion des incertitudes, a pour but de :

- Analyser l'impact des écarts géométriques sur le comportement du produit.
- Vérifier que les tolérances spécifiées permettent d'assurer l'assemblage et le bon fonctionnement du mécanisme.

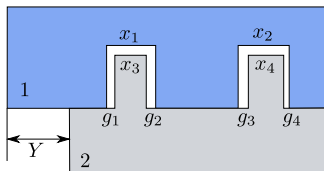
Formulation

Modélisation géométrique

- Ecarts géométriques \mathbf{X} : variables aléatoires de lois connues.
- Jeux \mathbf{g} : variables libres dépendant de la configuration des pièces.

Définition du problème fonctionnel \equiv problème de fiabilité

- Vérifier si une caractéristique fonctionnelle Y ne dépasse pas sa valeur seuil Y_{th} :
 $C_f(\mathbf{X}, \mathbf{g}) = Y_{th} - Y(\mathbf{X}, \mathbf{g}) \geq 0$
- Calculer $P_f = \text{Prob}(C_f(\mathbf{X}, \mathbf{g}) \leq 0)$



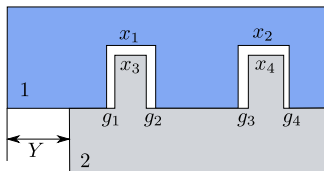
Formulation

Modélisation géométrique

- Ecarts géométriques \mathbf{X} : variables aléatoires de lois connues.
- Jeux \mathbf{g} : variables libres dépendant de la configuration des pièces.

Définition du problème fonctionnel \equiv problème de fiabilité

- Vérifier si une caractéristique fonctionnelle Y ne dépasse pas sa valeur seuil Y_{th} :
 $C_f(\mathbf{X}, \mathbf{g}) = Y_{th} - Y(\mathbf{X}, \mathbf{g}) \geq 0$
- Calculer $P_f = \text{Prob}(C_f(\mathbf{X}, \mathbf{g}) \leq 0)$



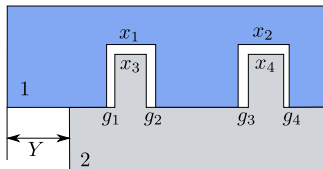
Quelle configuration du mécanisme choisir ?

Gestion des jeux du mécanisme

Calcul de la probabilité de défaillance

$$P_f = \text{Prob}(C_f(\mathbf{X}, \mathbf{g})) \leq 0 = \text{Prob}(Y_{th} - Y(\mathbf{X}, \mathbf{g}) \leq 0)$$

- Le pire des cas de C_f doit être trouvé : **pire configuration des jeux pour des dimensions données.**
- Sous contraintes de non interpénétration d'une surface dans une autre : $\{C(\mathbf{X}, \mathbf{g}) \leq 0\}$.

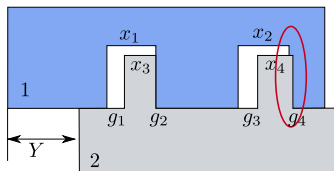


Gestion des jeux du mécanisme

Calcul de la probabilité de défaillance

$$P_f = \text{Prob}(C_f(\mathbf{X}, \mathbf{g})) \leq 0 = \text{Prob}(Y_{th} - Y(\mathbf{X}, \mathbf{g}) \leq 0)$$

- Le pire des cas de C_f doit être trouvé : **pire configuration des jeux pour des dimensions données.**
- Sous contraintes de non interpénétration d'une surface dans une autre : $\{C(\mathbf{X}, \mathbf{g}) \leq 0\}$.



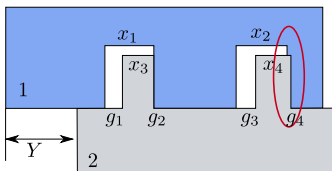
X Contact à gauche mais **avec interpénétration à droite.**

Gestion des jeux du mécanisme

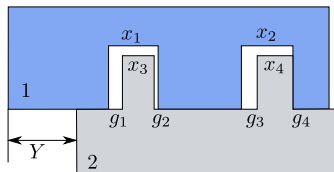
Calcul de la probabilité de défaillance

$$P_f = \text{Prob}(C_f(\mathbf{X}, \mathbf{g})) \leq 0 = \text{Prob}(Y_{th} - Y(\mathbf{X}, \mathbf{g}) \leq 0)$$

- Le pire des cas de C_f doit être trouvé : **pire configuration des jeux pour des dimensions données.**
- Sous contraintes de non interpénétration d'une surface dans une autre : $\{C(\mathbf{X}, \mathbf{g}) \leq 0\}$.



X Contact à gauche mais **avec interpénétration à droite.**



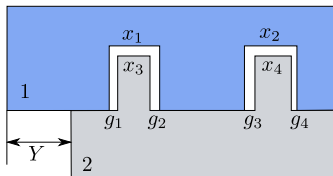
✓ Contact à droite sans interpénétration.

Formulation classique

Méthode d'analyse

- Trouver le pire des cas : minimisation de la condition fonctionnelle.
- Eviter les interpénétrations : sous contraintes $\{C(\mathbf{X}, \mathbf{g}) \leq 0\}$.

$$P_f = \text{Prob} \left(\begin{array}{l} \min_{\mathbf{g}} C_f(\mathbf{X}, \mathbf{g}) \leq 0 \\ \text{sous } \{C(\mathbf{X}, \mathbf{g}) \leq 0\} \end{array} \right)$$



$$P_f = \text{Prob} \left(\begin{array}{l} \min_{\mathbf{g}} Y_{th} - Y(\mathbf{X}, \mathbf{g}) \leq 0 \\ \text{sous } \begin{array}{l} C_1(\mathbf{X}, \mathbf{g}) = -g_1 \leq 0 \\ C_2(\mathbf{X}, \mathbf{g}) = -g_2 \leq 0 \\ C_3(\mathbf{X}, \mathbf{g}) = -g_3 \leq 0 \\ C_4(\mathbf{X}, \mathbf{g}) = -g_4 \leq 0 \end{array} \end{array} \right)$$

Méthode de résolution basée sur la simulation de Monte Carlo

$$P_f = \text{Prob} \left(\begin{array}{l} \min_{\mathbf{g}} C_f(\mathbf{X}(\omega), \mathbf{g}) \leq 0 \\ \text{sous} \{ C(\mathbf{X}(\omega), \mathbf{g}) \leq 0 \} \end{array} \right)$$

- 1 Tirage de N réalisations des variables aléatoires $\mathbf{X} = \{X_1(\omega), \dots, X_n(\omega)\}$,
- 2 Recherche du pire des cas : $\min_{\mathbf{g}} C_f(\mathbf{X}(\omega), \mathbf{g})$ sous contraintes,
- 3 Estimation de la probabilité de défaillance : $\tilde{P}_f = \frac{1}{N} \sum_{i=1}^N I_D(\mathbf{x}^{(i)})$

Méthode de résolution basée sur la simulation de Monte Carlo

$$P_f = \text{Prob} \left(\begin{array}{l} \min_{\mathbf{g}} C_f(\mathbf{X}(\omega), \mathbf{g}) \leq 0 \\ \text{sous} \{ C(\mathbf{X}(\omega), \mathbf{g}) \leq 0 \} \end{array} \right)$$

- 1 Tirage de N réalisations des variables aléatoires $\mathbf{X} = \{X_1(\omega), \dots, X_n(\omega)\}$,
- 2 Recherche du pire des cas : $\min_{\mathbf{g}} C_f(\mathbf{X}(\omega), \mathbf{g})$ sous contraintes,
- 3 Estimation de la probabilité de défaillance : $\tilde{P}_f = \frac{1}{N} \sum_{i=1}^N I_D(\mathbf{x}^{(i)})$

Difficulté :

- Temps de calcul très long pour des systèmes complexes.

Méthode de résolution basée sur la simulation de Monte Carlo

$$P_f = \text{Prob} \left(\begin{array}{l} \min_{\mathbf{g}} C_f(\mathbf{X}(\omega), \mathbf{g}) \leq 0 \\ \text{sous} \{ C(\mathbf{X}(\omega), \mathbf{g}) \leq 0 \} \end{array} \right)$$

- 1 Tirage de N réalisations des variables aléatoires $\mathbf{X} = \{X_1(\omega), \dots, X_n(\omega)\}$,
- 2 Recherche du pire des cas : $\min_{\mathbf{g}} C_f(\mathbf{X}(\omega), \mathbf{g})$ sous contraintes,
- 3 Estimation de la probabilité de défaillance : $\tilde{P}_f = \frac{1}{N} \sum_{i=1}^N I_D(\mathbf{x}^{(i)})$

Difficulté :

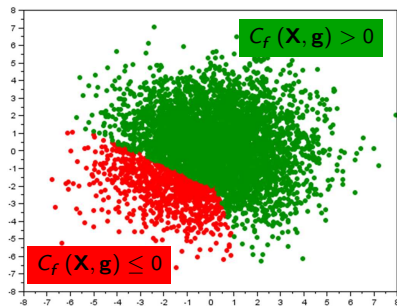
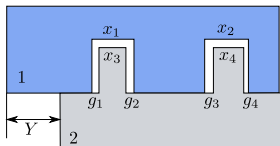
- Temps de calcul très long pour des systèmes complexes.

Solution :

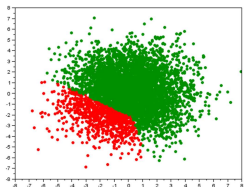
- Transformer le problème classique en un problème de fiabilité système.

Cas particuliers des mécanismes hyperstatiques

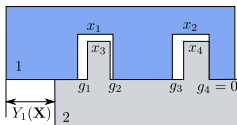
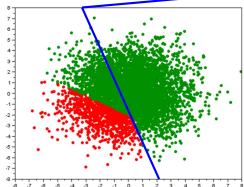
- Fonction état-limite définie par morceaux.
- Aucune connaissance *a priori* de chaque fonction de performance associée aux état-limites.



Décomposition par configuration

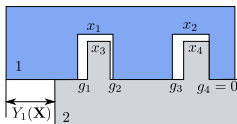
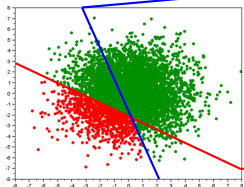


Décomposition par configuration

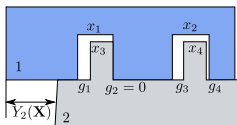


Configuration 1 :
 $C_{f1}(\mathbf{X}) = Y_{th} - Y_1(\mathbf{X})$

Décomposition par configuration

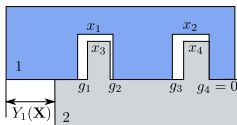
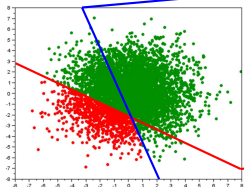


Configuration 1 :
 $C_{f_1}(\mathbf{X}) = Y_{th} - Y_1(\mathbf{X})$

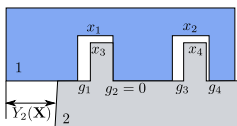


Configuration 2 :
 $C_{f_2}(\mathbf{X}) = Y_{th} - Y_2(\mathbf{X})$

Décomposition par configuration



Configuration 1 :
 $C_{f1}(\mathbf{X}) = Y_{th} - Y_1(\mathbf{X})$

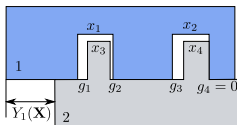
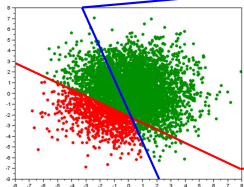


Configuration 2 :
 $C_{f2}(\mathbf{X}) = Y_{th} - Y_2(\mathbf{X})$

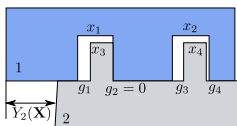
Développement d'une formulation système

- Une configuration des jeux = une valeur spécifique des jeux.
- La probabilité de défaillance est l'intersection des zones de défaillance dans les principales configurations : $P_f = \text{Prob}(C_{f1}(\mathbf{X}) \leq 0 \cap C_{f2}(\mathbf{X}) \leq 0)$

Décomposition par configuration



Configuration 1 :
 $C_{f1}(\mathbf{X}) = Y_{th} - Y_1(\mathbf{X})$



Configuration 2 :
 $C_{f2}(\mathbf{X}) = Y_{th} - Y_2(\mathbf{X})$

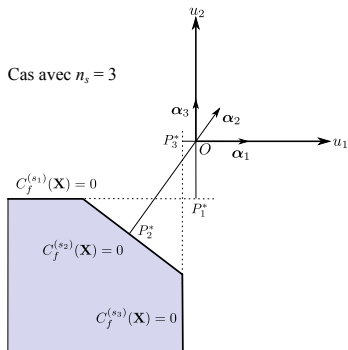
Développement d'une formulation système

- Une configuration des jeux = une valeur spécifique des jeux.
- La probabilité de défaillance est l'intersection des zones de défaillance dans les principales configurations : $P_f = \text{Prob} (C_{f1}(\mathbf{X}) \leq 0 \cap C_{f2}(\mathbf{X}) \leq 0)$

$$P_f = \text{Prob} \left(\bigcap_{j=1}^{n_s} C_{fj}(\mathbf{X}) \leq 0 \right)$$

avec n_s le nombre de configurations.

Méthode de résolution système : FORM / FORM système



Calcul FORM pour chaque condition fonctionnelle $C_f^{(s_j)}$

- Etat-limite : $C_f^{(s_j)}(\mathbf{X}) = 0$
- Point de défaillance le plus probable : P_j^*
- Indice de fiabilité : β_j
- Cosinus directeur : $\alpha^{(j)}$

Matrice de corrélation :

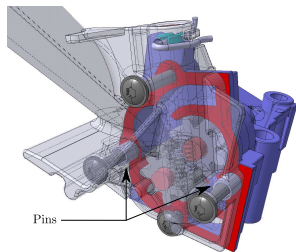
$$\rho_{jk} = \langle \alpha^{(j)}, \alpha^{(k)} \rangle$$

FORM système

$$\begin{aligned} P_f &= \text{Prob} \left(\bigcap_{s=1}^{n_s} C_f^{(s_j)}(\mathbf{X}) \leq 0 \right) \\ &= \Phi_{n_s}(-\beta; [\rho]) \end{aligned}$$

avec Φ_{n_s} , la loi de répartition multinormale, calculée numériquement.

Mécanisme hyperstatique modélisé en 3D



Problème fonctionnel

Le positionnement du carter sur le bâti via les 2 goupilles doit être suffisamment précis pour garantir le bon fonctionnement de l'engrenage.

Caractéristiques

- 38 écarts géométriques = variables aléatoires \mathbf{X} ,
- 3 jeux = paramètres d'optimisation \mathbf{g} ,
- 160 contraintes d'interface $C(\mathbf{X}, \mathbf{g}) \leq 0$ (après linéarisation)
- 1 condition fonctionnelle $C_f(\mathbf{X}, \mathbf{g}) \geq 0$

Comparaison des résultats avec la méthode de Monte Carlo

Résultats numériques avec 3 ordres de grandeur de la probabilité de défaillance :

	Monte Carlo	FORM système
P_f ($\times 10^{-6}$)	20453	20283
	2550	2464
	63.5	62.3
95% C.I.	1030	171
	116	37
	10	1
$N_{\text{appel optim.}} / n_s$	3e5	89
	3e6	95
	1e7	120
Temps de calcul	28 min	2 min
	4.3 h	2.5 min
	14.7 h	3.8 min

Comparaison des résultats avec la méthode de Monte Carlo

Résultats numériques avec 3 ordres de grandeur de la probabilité de défaillance :

	Monte Carlo	FORM système
P_f ($\times 10^{-6}$)	20453	20283
	2550	2464
	63.5	62.3
95% C.I.	1030	171
	116	37
	10	1
$N_{\text{appel optim.}} / n_s$	3e5	89
	3e6	95
	1e7	120
Temps de calcul	28 min	2 min
	4.3 h	2.5 min
	14.7 h	3.8 min

Conclusion

- Méthode qui s'affranchit du problème d'optimisation.
- Application adaptée aux mécanismes très complexe où Monte Carlo n'est pas envisageable.

Merci de votre attention



Transformation du problème d'optimisation grâce à la dualité de Lagrange

Hypothèses

- La condition fonctionnelle est linéaire.
- Toutes les contraintes d'interface sont linéaires (ou linéarisées).

Equivalence entre les formulations

$$P_f = \text{Prob} \left(\begin{array}{l} \min_{\mathbf{g}} C_f(\mathbf{X}, \mathbf{g}) = \mathbf{a}^T \mathbf{x} + \mathbf{b}^T \mathbf{g} + c_0 \leq 0 \\ \text{sous } C_i(\mathbf{X}, \mathbf{g}) = \mathbf{d}_i^T \mathbf{x} - \mathbf{e}_i^T \mathbf{g} + c_i \leq 0 \end{array} \right)$$

avec $i = 1, \dots, p$, $\mathbf{g} \in \mathbb{R}^m$ et $p \gg m$.

\Leftrightarrow

$$P_f = \text{Prob} \left(\begin{array}{l} \max_{\lambda} C_{f,dual}(\mathbf{X}, \lambda) = (\mathbf{d}_j^T \mathbf{x} + \mathbf{c})^T \lambda + \mathbf{a}^T \mathbf{x} + c_0 \leq 0 \\ \text{with } \sum_{j=1}^p \lambda_j \mathbf{e}_j = \mathbf{b} \\ \lambda \geq 0 \end{array} \right)$$

Illustration sur un exemple simple

Exemple d'illustration avec 2 variables

$$P_f = \text{Prob} \left(\begin{array}{l} \min_{\mathbf{g}} C_f(\mathbf{X}, \mathbf{g}) = g_1 + g_2 + x_1 + x_2 + 1 \leq 0 \\ \text{sous } C_1(\mathbf{X}, \mathbf{g}) = x_1 - g_1 - 1 \leq 0 \\ C_2(\mathbf{X}, \mathbf{g}) = x_2 - g_2 + 2 \leq 0 \\ C_3(\mathbf{X}, \mathbf{g}) = x_1 - x_2 - 2g_1 \leq 0 \\ C_4(\mathbf{X}, \mathbf{g}) = 2x_1 + x_2 + g_1 - 2g_2 \leq 0 \end{array} \right)$$

Nouvelle formulation avec l'intersection

Il y a 4 configurations admissibles, ce qui donne :

$$P_f = \text{Prob} \left(C_f^{s1}(\mathbf{X}) \leq 0 \cap C_f^{s3}(\mathbf{X}) \leq 0 \cap C_f^{s4}(\mathbf{X}) \leq 0 \cap C_f^{s6}(\mathbf{X}) \leq 0 \right)$$

s_1 :	$\lambda_1 = 0$ $\lambda_2 = 0$	$\lambda_3 = 1$ $\lambda_4 = 1$	$C_{f-Dual}^{s_1} = 4x_1 + x_2 + 1 = C_f^{s_1}$
s_2 :	$\lambda_1 = 0$ $\lambda_3 = 0$	$\lambda_4 = -1$ $\lambda_2 = 4$	n'est pas un optimum
s_3 :	$\lambda_1 = 0$ $\lambda_4 = 0$	$\lambda_2 = 2$ $\lambda_3 = 1/2$	$C_{f-Dual}^{s_3} = \frac{3x_1 + 5x_2}{2} + 5 = C_f^{s_3}$
s_4 :	$\lambda_2 = 0$ $\lambda_3 = 0$	$\lambda_1 = 2$ $\lambda_4 = 1$	$C_{f-Dual}^{s_4} = 5x_1 + 2x_2 - 1 = C_f^{s_4}$
s_5 :	$\lambda_2 = 0$ $\lambda_4 = 0$	$(1) \Rightarrow 2 - \lambda_2 - 2\lambda_4 = 0$ $\Rightarrow 2 = 0$	impossible
s_6 :	$\lambda_3 = 0$ $\lambda_4 = 0$	$\lambda_1 = 1$ $\lambda_2 = 2$	$C_{f-Dual}^{s_6} = 2x_1 + 3x_2 + 4 = C_f^{s_6}$

Equivalence entre max et intersection

$$\begin{aligned} P_f &= \text{Prob} (\max [C_f^{s1}, C_f^{s3}, C_f^{s4}, C_f^{s6}] \leq 0) \\ &= \text{Prob} ([C_f^{s1} \leq 0 \cap C_f^{s3} \leq 0 \cap C_f^{s4} \leq 0 \cap C_f^{s6} \leq 0]) \end{aligned}$$

Equivalence entre max et intersection

$$\begin{aligned} P_f &= \text{Prob} \left(\max [C_f^{s1}, C_f^{s3}, C_f^{s4}, C_f^{s6}] \leq 0 \right) \\ &= \text{Prob} \left([C_f^{s1} \leq 0 \cap C_f^{s3} \leq 0 \cap C_f^{s4} \leq 0 \cap C_f^{s6} \leq 0] \right) \end{aligned}$$

$$P_f = \text{Prob} \left(\bigcap_{j=1}^{n_s} C_f^{(s_j)}(\mathbf{X}) \leq 0 \right)$$